



Fondamenti di Automatica

Funzioni di trasferimento: robustezza e prestazioni

Dott. Ing. Marcello Bonfè

Dipartimento di Ingegneria - Università di Ferrara

Tel. +39 0532 974839

E-mail: marcello.bonfe@unife.it

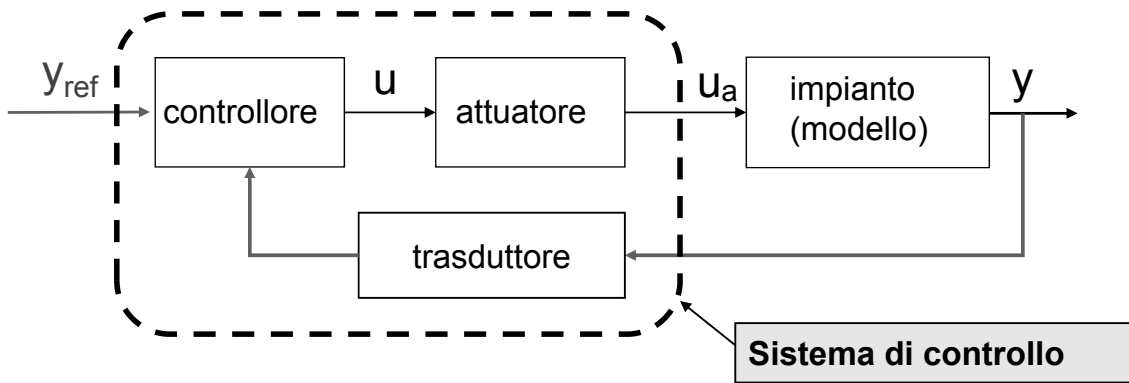


Funzioni di trasferimento SENSIBILITA'



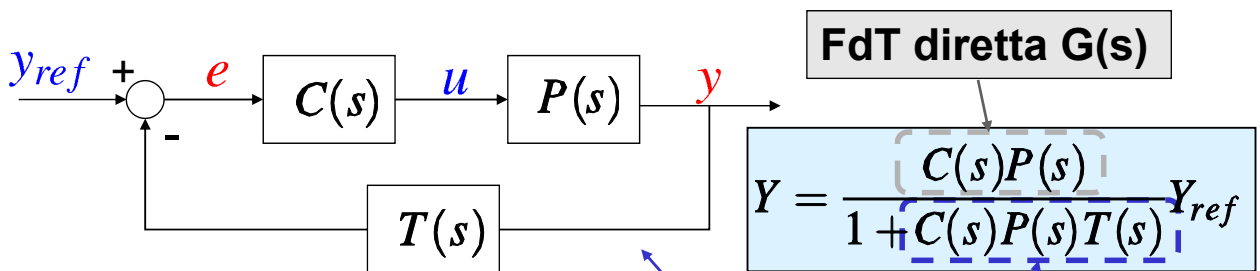
Sistemi in retroazione

- La tecnologia del sistema di controllo ad anello chiuso richiede sempre l'installazione di un trasduttore di misura, la cui influenza sulle proprietà del sistema controllato è spesso di notevole importanza (anche pratica)



Sistemi in retroazione - 1

- Tramite modelli FdT e la riduzione degli schemi a blocchi:



$$F(s) = \frac{G(s)}{1 + L(s)} = \frac{Y}{Y_{ref}}$$

$$Q(s) = \frac{C(s)}{1 + L(s)} = \frac{U}{Y_{ref}}$$

$$S(s) = \frac{1}{1 + L(s)} = \frac{E}{Y_{ref}}$$

Funzione di sensitività

**FdT di anello L(s)
[anche = G(s)T(s)]**



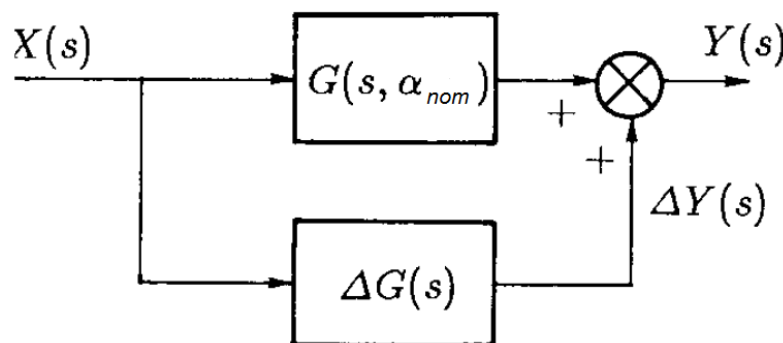
Sensibilità alle variazioni di parametri

- Se un parametro dell'impianto è difforme dal valore nominale ipotizzato in fase di progetto:

$$\alpha = \alpha_{nom} + \Delta\alpha \implies G(s, \alpha) = G(s) + \Delta G(s)$$

con

$$G(s) = G(s, \alpha_{nom}); \quad \Delta G(s) = \left. \frac{\partial G}{\partial \alpha} \right|_{\alpha=\alpha_{nom}} \Delta\alpha$$



Sensibilità alle variazioni di parametri - 1

- Tale variazione è quindi equivalente ad un blocco indesiderato in parallelo alla FdT diretta
- La corrispondente variazione della FdT complessiva (ad anello chiuso) è:

$$\Delta F(s) = \left. \frac{\partial F}{\partial G} \frac{\partial G}{\partial \alpha} \right|_{\alpha=\alpha_{nom}} \Delta\alpha = \frac{\partial}{\partial G} \left(\frac{G}{1+L} \right) \Delta G(s) = \frac{1}{(1+L)^2} \Delta G(s)$$

$$\frac{\Delta F(s)}{F(s)} = \frac{1}{1+L(s)} \frac{\Delta G(s)}{G(s)} = S(s) \frac{\Delta G(s)}{G(s)}$$

Funzione di *sensitività*



Sensibilità alle variazioni di parametri - 2

- ➔ In relazione al modulo della risposta armonica:

$$\frac{|\Delta F(j\omega)|}{|F(j\omega)|} = \frac{1}{|1 + L(j\omega)|} \frac{|\Delta G(j\omega)|}{|G(j\omega)|}$$

- ➔ Se $|L(j\omega)| \gg 1$ (perciò $|S(j\omega)| \simeq 0$) si può scrivere:

$$\frac{|\Delta F(j\omega)|}{|F(j\omega)|} \ll \frac{|\Delta G(j\omega)|}{|G(j\omega)|}$$

- ➔ **Pertanto**, l'errore relativo (dovuto alla variazione di un parametro nell'impianto) nella risposta del sistema ad anello chiuso è molto inferiore a quello del sistema in catena diretta (alle frequenze per le quali il guadagno della FdT di anello è elevato)



Sensibilità alle variazioni di parametri - 3

- ➔ Se invece è un parametro del trasduttore (o comunque del ramo di retroazione) ad essere difforme dal valore nominale:

$$\beta = \beta_{nom} + \Delta\beta \implies T(s, \beta) = T(s) + \Delta T(s)$$

con

$$T(s) = T(s, \beta_{nom}); \quad \Delta T(s) = \left. \frac{\partial T}{\partial \beta} \right|_{\beta=\beta_{nom}} \Delta\beta$$

allora (ricordando che $L=GT$)

$$\Delta F(s) = \left. \frac{\partial F}{\partial T} \frac{\partial T}{\partial \beta} \right|_{\beta=\beta_{nom}} \Delta\beta = \frac{\partial}{\partial T} \left(\frac{G}{1+L} \right) \Delta T(s) = -\frac{G^2}{(1+L)^2} \Delta T(s)$$



Sensibilità alle variazioni di parametri - 4

- La corrispondente variazione relativa della FdT complessiva (ad anello chiuso) è:

$$\frac{\Delta F(s)}{F(s)} = -\frac{L(s)}{1+L(s)} \frac{\Delta T(s)}{T(s)} = -S_c(s) \frac{\Delta T(s)}{T(s)}$$

Funzione di **sensibilità complementare**

- La funzione di **sensibilità complementare** qui definita è sempre tale che $S(s) + S_c(s) = 1$, pertanto se si vuole che la funzione di sensibilità sia $\simeq 0$, la funzione di sensibilità complementare sarà $\simeq 1$



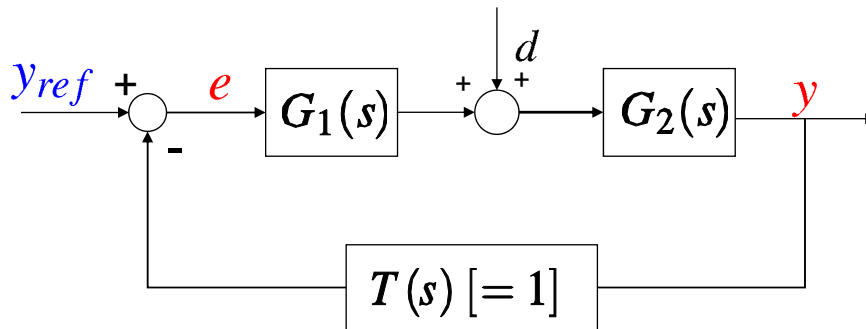
Sensibilità alle variazioni di parametri - 5

- **NON** è quindi possibile ridurre l'errore relativo introdotto nella risposta ad anello chiuso dal parametro del trasduttore, perché ciò provocherebbe un peggioramento della sensibilità rispetto a variazioni dei parametri nell'impianto (o comunque nel ramo diretto), che si vuole invece minimizzare (e quindi si vuole $L \gg 1!$)
- Ciò dimostra l'importanza della scelta dei trasduttori (e circuiti di acquisizione) e della loro *qualità*, per l'ingegneria dei sistemi di controllo



Sensibilità ai disturbi

► Si consideri lo schema modificato:



► **N.B.:** G_1 non è necessariamente la FdT del solo controllore e G_2 non è necessariamente la FdT del solo impianto, ma ciascuna potrebbe includere l'effetto di attuatori o altri elementi di interconnessione (punto di ingresso di d ignoto!)



Sensibilità ai disturbi - 1

► Si ha allora che:

$$Y = \frac{L(s)}{1+L(s)} Y_{ref} + \frac{G_2(s)}{1+L(s)} D \quad \Rightarrow \quad Y = F(s) Y_{ref} + G_2(s) S(s) D$$

$$\text{Se } |L(j\omega)| \gg 1 \quad \Rightarrow \quad \begin{cases} |F(j\omega)| \cong 1 \\ |S(j\omega)| \ll 1 \end{cases}$$

► **N.B.:** in questo caso ($T(s) = 1$), $F(s)$ coincide con la funzione di sensibilità complementare $S_c(s)$, che come detto in precedenza è sempre t.c. la somma con la funzione di sensibilità è $S(s) + S_c(s) = 1$



Sensibilità ai disturbi - 2

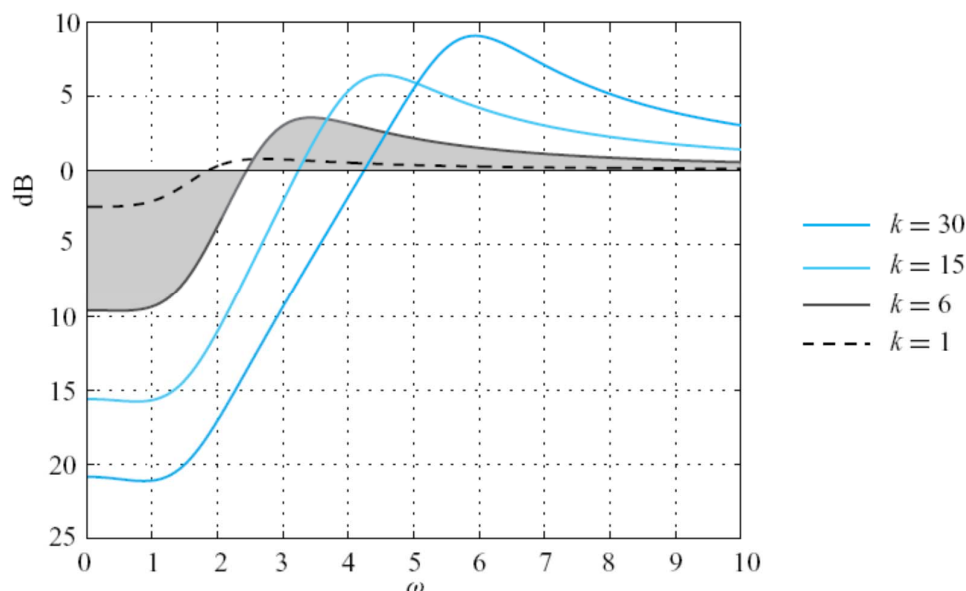
- ➔ **NOTA:** la funzione di sensitività $S(s)$ influenza quindi anche l'effetto del disturbo sull'uscita
- ➔ Quest'ultimo risulta quindi tanto più attenuato quanto più è elevato il guadagno della FdT di anello (condizione che come detto riduce anche l'effetto di variazioni parametriche nel ramo diretto)
- ➔ Nella pratica, non è possibile ottenere $|L(j\omega)| \gg 1$ fino a frequenze elevate (ANZI!), per cui è necessario valutare adeguatamente entro quali frequenze è lecito ipotizzare la presenza del disturbo, per attenuarlo opportunamente



Sensibilità ai disturbi - 3

- ➔ **Esempio:** F.d.t. d'anello
$$L(s) = \frac{k}{s^2 + 2s + 3}$$

Influenza di k sulla sensitività $S(s)$



Sensibilità ai disturbi - 4

- In sostanza il progetto di controllo richiede un compromesso sulla sensibilità $S(s)$ alle varie frequenze...

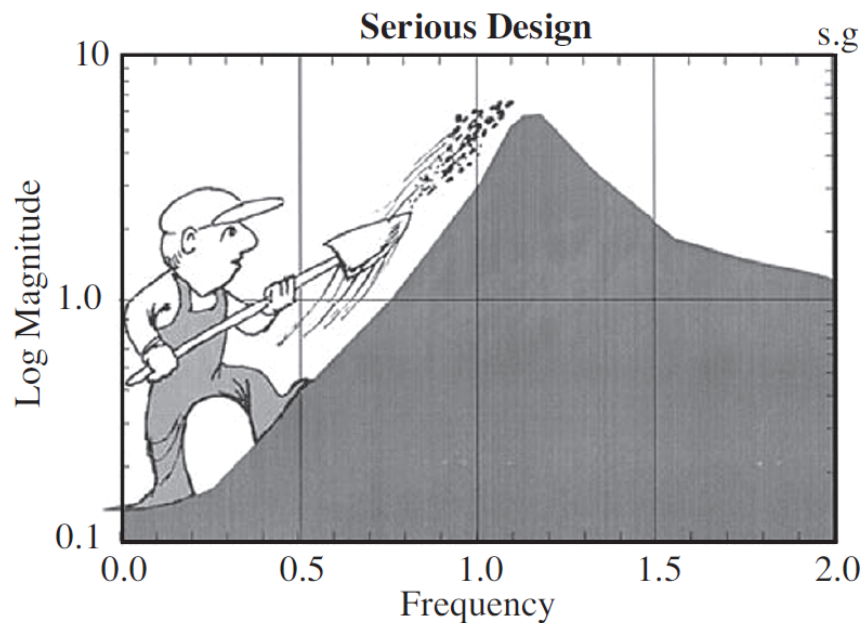


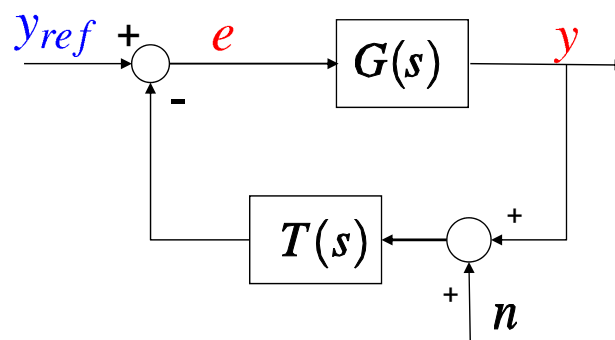
Illustrazione di Gunter Stein, *Respect the unstable* (IEEE Control Systems Magazine, Vol. 23 N. 4 2003)
pag. 15

Fondamenti di Automatica – 3.1 FdT: robustezza e prestazioni



Sensibilità ai disturbi - 5

- Considerazioni analoghe si possono applicare in caso di **rumori di misura** (*noise*), cioè di segnali indesiderati che entrino nell'anello come segue:





Funzioni di trasferimento BANDA PASSANTE




Banda passante



- Si definisce **banda passante** di una FdT $G(s)$ la pulsazione alla quale il modulo della relativa funzione di risposta armonica è inferiore di 3 dB rispetto al valore statico $G(0)$
- Per un sistema in retroazione, ipotizzando che il ramo di retroazione abbia FdT reale ($T(s) = h > 0$)

$$F(j\omega) = \frac{G(j\omega)}{1 + hG(j\omega)} = \frac{1}{h + \frac{1}{G(j\omega)}}$$

- Pertanto, per le pulsazioni alle quali $h|G(j\omega)| \gg 1$


$$F(j\omega) \simeq \frac{1}{h}$$

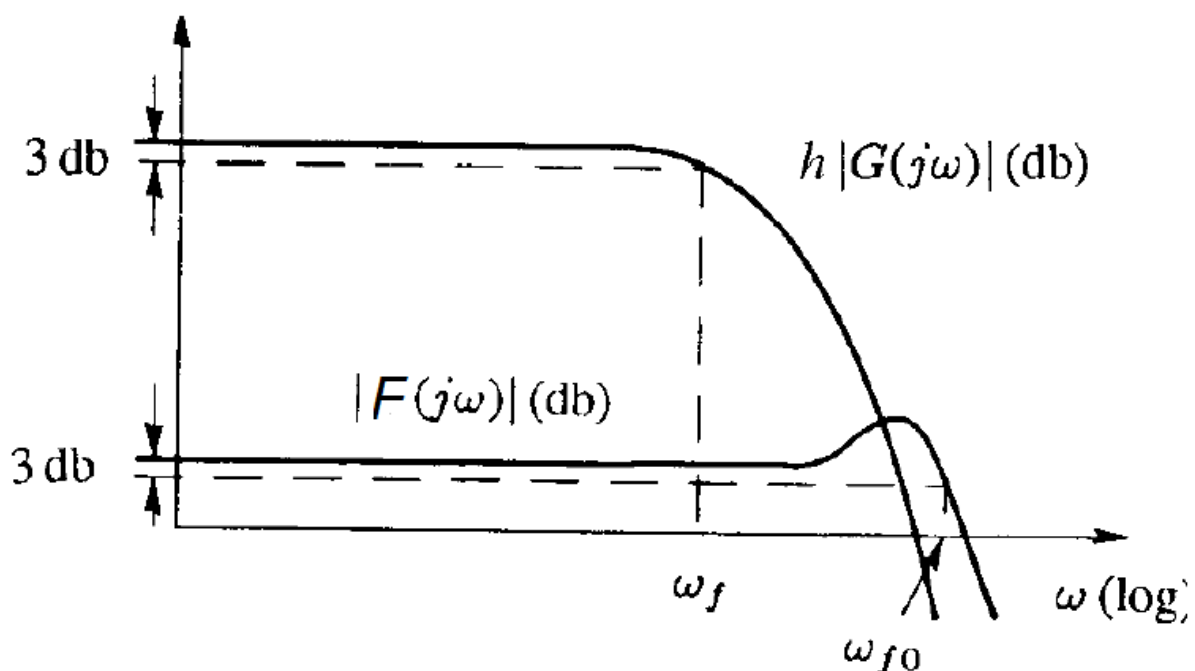


Banda passante - 1

- ▶ Anche se la FdT in catena diretta ha grandi variazioni di modulo, nella banda in cui la FdT di anello ha guadagno elevato la FdT del sistema in retroazione è quasi costante
- ▶ Si evidenzia anche che la FdT di un **trasduttore ideale** dovrebbe essere reale e con guadagno unitario ($h = 1$)
- ▶ Infine, il sistema in retroazione ha certamente **banda passante più ampia** di uno in catena aperta composto dagli stessi elementi sul ramo diretto, come si può evidenziare analizzando i diagrammi di Bode



Banda passante - 2



Banda passante - 3

► Esempio: $G(s) = \frac{1}{s+1} \Rightarrow G(j\omega) = \frac{1}{j\omega+1}$

➡ $|G(j\omega)|_{\omega=0} = 1; \quad |G(j\omega)|_{\omega=1} = \frac{1}{\sqrt{2}} \quad (-3 \text{ dB})$

Banda passante catena diretta

$$F(s) = \frac{\frac{1}{s+1}}{1 + \frac{h}{s+1}} = \frac{1}{s+1+h} \Rightarrow F(j\omega) = \frac{1}{j\omega+1+h}$$

↓

$$|F(j\omega)|_{\omega=0} = \frac{1}{1+h}; \quad |F(j\omega)|_{\omega=1+h} = \frac{1}{\sqrt{2}(1+h)} \quad (F(0) - 3 \text{ dB})$$

Banda passante anello chiuso (> 1 se $h > 0$)



Banda passante - 4

► **NOTA:** in generale, la banda passante di un **sistema del primo ordine** è sempre legata alla sua costante di tempo ed è:

$$\omega_f = \frac{1}{\tau}$$

► Infatti:

$$G(s) = \frac{K}{\tau s + 1} \Rightarrow G(j\omega) = \frac{K}{j\tau\omega + 1}$$

➡ $|G(j\omega)|_{\omega=0} = K; \quad |G(j\omega)|_{\omega=\frac{1}{\tau}} = \frac{K}{\sqrt{2}} \quad (G(0) - 3 \text{ dB})$

Banda passante



Banda passante e *prontezza di risposta* del sistema

- ➔ Poiché come noto la costante di tempo τ esprime direttamente anche il tempo di assestamento per la risposta al gradino ($T_a = 3\tau$), si possono fare le seguenti considerazioni:
 - La **prontezza di risposta** di un sistema è tanto maggiore (T_a piccolo) quanto più è ampia la sua banda passante ($T_a = 3/\omega_f$ nel sis. 1° ordine)
 - La chiusura in retroazione serve appunto ad aumentare la banda passante e quindi la prontezza di risposta



Banda passante e *prontezza di risposta* del sistema-1

- ➔ **NOTA:** Per i sistemi del secondo ordine, il tempo di assestamento è legato alla pulsazione critica in un modo analogo a quello con cui è legato alla banda passante nei sistemi del primo ordine:

$$T_a = 3/(\delta\omega_n)$$

- ➔ In questo caso si può dire (purchè il coefficiente di smorzamento δ sia accettabile...) che:
 - La **prontezza di risposta** di un sistema del secondo ordine è tanto maggiore quanto più è elevata la sua pulsazione naturale ω_n



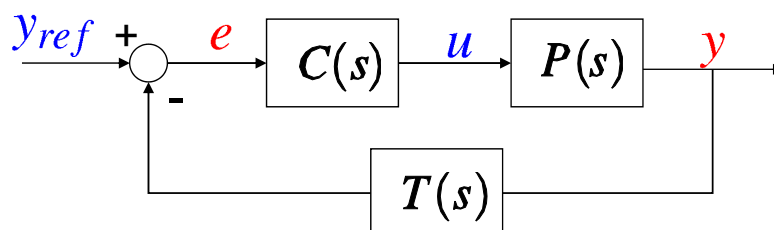
Funzioni di trasferimento

CRITERIO di NYQUIST / MARGINI di STABILITA'



Stabilità e FdT di anello

► La stabilità del sistema in retroazione:



si riconduce allo studio della FdT di anello (prodotto di tutte le FdT dei blocchi nel loop), in questo caso $L(s) = C(s)P(s)T(s)$

► Per lo studio dei poli, si considera l'equazione caratteristica (denominatore della FdT ad anello chiuso)

$$1 + L(s) = 0$$



Stabilità e FdT di anello - 1

- ➡ L'equazione $1 + L(s) = 0$ è peraltro una FdT razionale a sua volta, con poli e zeri
- ➡ In particolare, gli **zeri** di $1 + L(s) = 0$ sono i **poli** della FdT del sistema chiuso in retroazione
- ➡ Tuttavia, la stabilità del sistema in retroazione può essere studiata anche analizzando le informazioni relative alla sola FdT di anello $L(s)$, sfruttando opportuni risultati teorici derivanti da studi nel dominio della frequenza



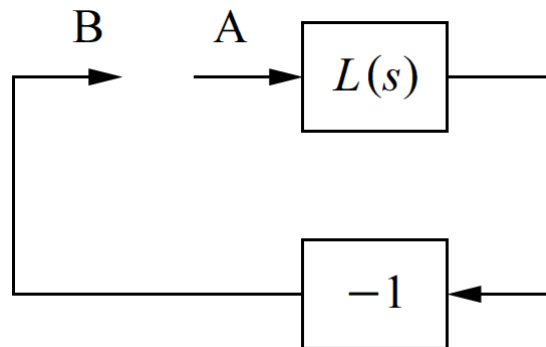
Criterio di Nyquist

- ➡ Gli studi di Nyquist sui sistemi in retroazione (1932) introducono criteri grafici basati sui diagrammi polari della risposta armonica, su alcune considerazioni intuitive e su risultati teorici dell'analisi di funzioni complesse (*principio dell'argomento* o *lemma di Cauchy*)
- ➡ L'intuizione base di Nyquist è quella di determinare le condizioni limite nelle quali il sistema in retroazione ha un comportamento oscillatorio persistente, cioè **marginamente (o semplicemente) stabile**



Criterio di Nyquist - 1

- Con riferimento allo schema ottenuto aprendo l'anello considerato in precedenza:



supponendo che nel punto A vi sia un segnale sinusoidale con pulsazione ω_0 , se nel punto B si ritrova un segnale sinusoidale con stessa pulsazione, ampiezza e fase, chiudendo l'anello l'oscillazione si autososterrebbe



Criterio di Nyquist - 2

- Affinchè ciò avvenga, occorre che $L(s)$ sia stabile e che:

$$L(j\omega_0) = -1$$

- Ciò significa che nell'analisi del diagramma polare (o diagramma di Nyquist) di $L(j\omega)$, il punto $(-1,0)$ del piano complesso è il **punto critico** che determina il limite di stabilità
- Se il diagramma di Nyquist della FdT di anello (**N.B:** non quella del sistema chiuso in retroazione) passa per tale punto, il sistema ad anello chiuso sarà marginalmente stabile

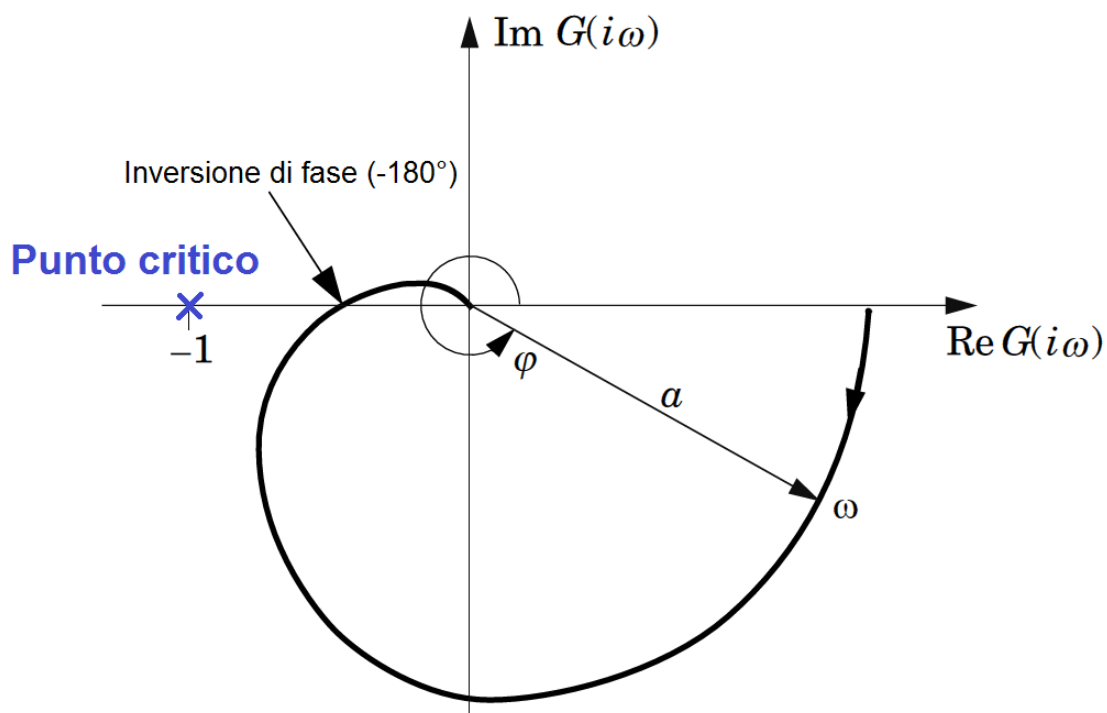


Criterio di Nyquist - 3

- Qualora il diagramma di Nyquist non passi per il punto critico, è necessario formalizzare i criteri per stabilire l'effettiva stabilità o instabilità
- Intuitivamente, definita ω_π la pulsazione alla quale il diagramma di Nyquist di $L(s)$ incrocia l'asse reale negativo ($\arg[L(j\omega_\pi)] = -\pi$), è ragionevole pensare che se il guadagno di $L(s)$ a tale pulsazione è minore di uno, nel punto B dello schema a blocchi *aperto* visto in precedenza si avrà la sinusoide entrante in A, ma attenuata in ampiezza, il che è indicativo di comportamento stabile ad anello chiuso..



Criterio di Nyquist - 4



Criterio di Nyquist - 5

- Formalmente, il *principio dell'argomento* di funzioni complesse afferma che per ogni curva chiusa Γ nel piano complesso della variabile s , variando s in modo da percorrere tale curva per un giro completo in senso orario, l'argomento di una funzione $F(s)$ varia come segue:

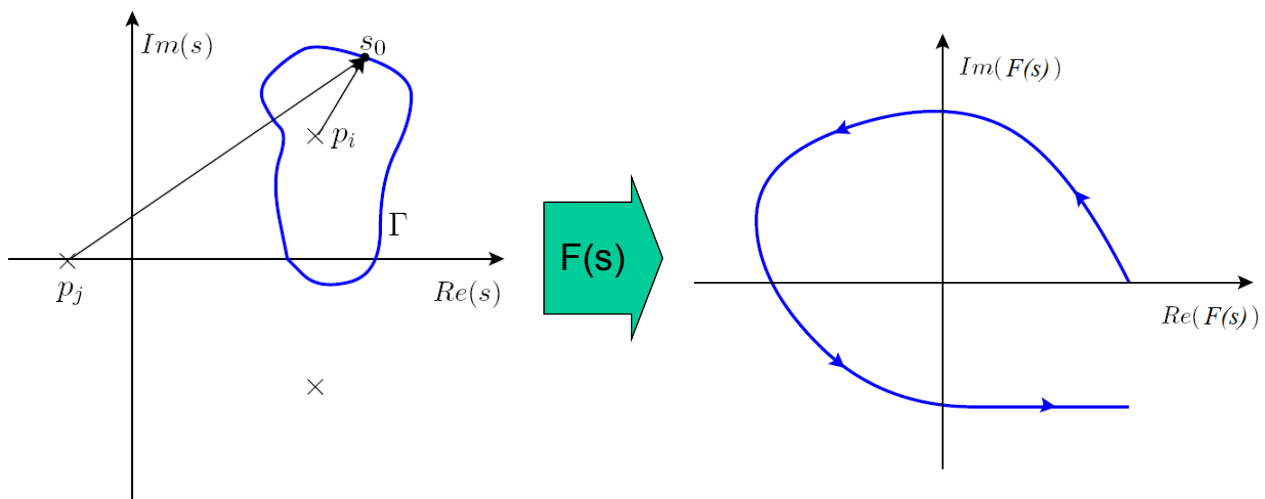
$$\Delta \arg[F(s)] = 2\pi(n_p - n_z)$$

con n_p = numero di poli di $F(s)$ circondati da Γ e
 n_z = numero di zeri di $F(s)$ circondati da Γ



Criterio di Nyquist - 6

- Ovvero, la curva ottenuta nel piano complesso di $F(s)$, mappando Γ tramite F , circonda l'origine un numero di volte pari alla differenza tra il numero di poli e di zeri di $F(s)$ circondati da Γ



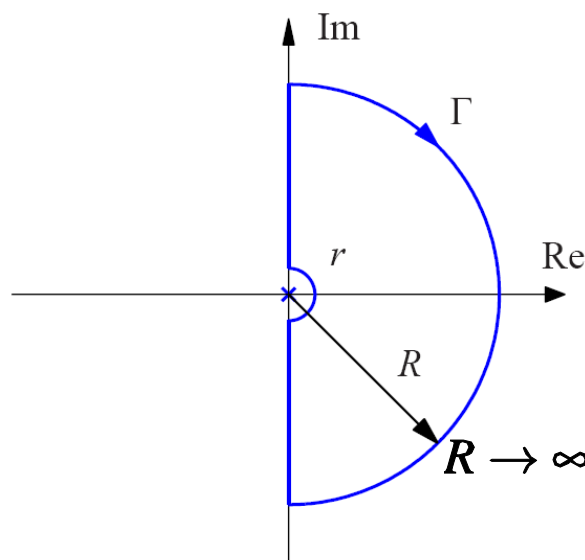
Criterio di Nyquist - 7

- ➔ Il criterio di Nyquist applica il principio dell'argomento considerando la curva Γ che racchiude il semipiano complesso a parte reale positiva (**regione di instabilità**), costituita dall'asse immaginario (a partire da $\omega = -\infty$) e da una circonferenza di raggio $R \rightarrow \infty$
- ➔ Eventuali poli puramente immaginari sono esclusi dalla curva tramite semicirconferenze di raggio infinitesimo



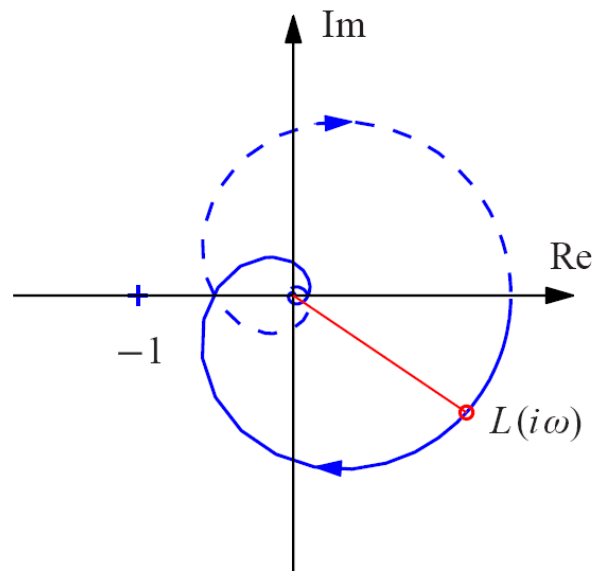
Criterio di Nyquist - 8

- ➔ Contando le rotazioni attorno all'origine della curva Γ mappata tramite $L_1(s) = 1 + L(s)$ si può determinare il numero di **zeri** (**poli** del sistema *closed-loop*) instabili



Criterio di Nyquist - 9

- Equivalentemente, si possono contare le rotazioni attorno al punto critico $(-1,0)$ del **diagramma di Nyquist completo** della FdT di anello $L(s)$



Criterio di Nyquist - 10

N.B.: Il *diagramma di Nyquist completo* (cioè per $\omega \in [-\infty; +\infty]$) si ottiene ribaltando rispetto all'asse reale il diagramma di Nyquist già descritto

Teorema (criterio di Nyquist semplificato): sia $L(s)$ una FdT di anello non avente poli a parte reale positiva (ed eventuali poli puramente immaginari siano semplici, cioè con molteplicità unitaria); allora, il corrispondente sistema chiuso in retroazione è stabile se il diagramma di Nyquist di $L(s)$ non circonda né tocca il punto critico $(-1,0)$



Criterio di Nyquist - 11

Teorema (criterio di Nyquist): sia $L(s)$ una FdT di anello avente P poli a parte reale positiva e sia N il numero di rotazioni del diagramma di Nyquist di $L(s)$ attorno al punto critico $(-1,0)$, conteggiate con segno positivo se compiute in senso orario, con segno negativo se compiute in senso antiorario.

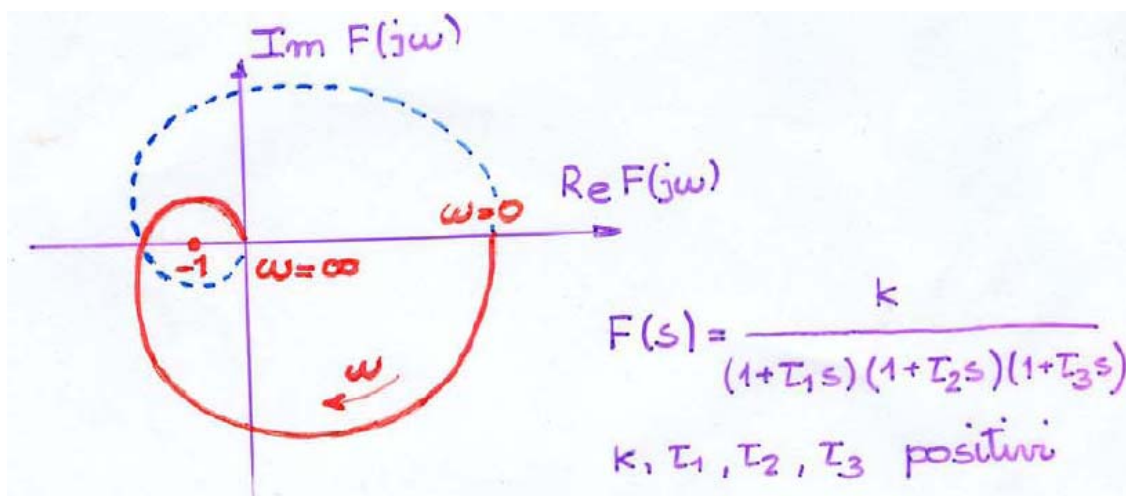
Il numero di poli a parte reale positiva del sistema chiuso in retroazione è $Z = P + N$

N.B.: affinché una rotazione sia inclusa nel conteggio è necessario che il punto critico non venga toccato



Criterio di Nyquist - 12

Esempio:

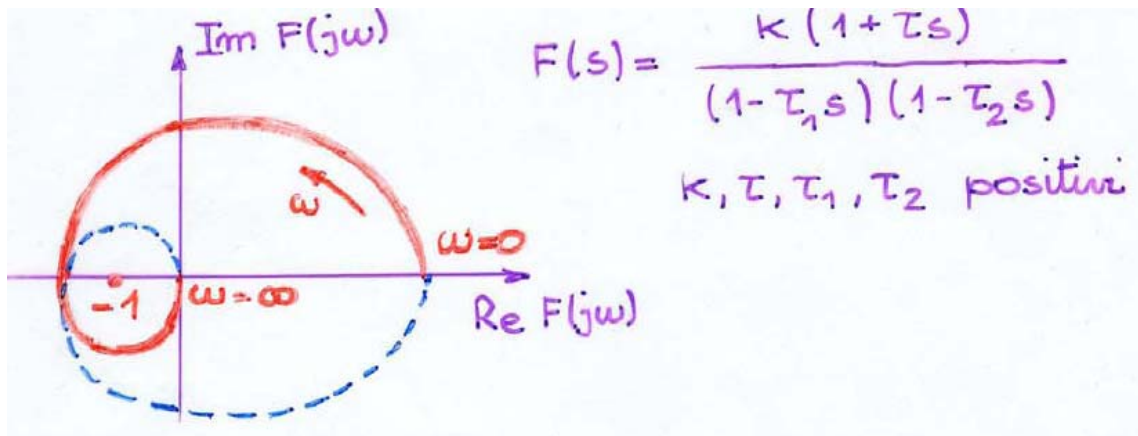


Due rotazioni in senso orario \rightarrow poli a parte reale positiva nel sistema *closed-loop* (instabile)



Criterio di Nyquist - 13

Esempio:



Due rotazioni in senso anti orario \rightarrow nessun polo ($P = 2, N = -2 \rightarrow Z = 2 - 2 = 0$) a parte reale > 0 nel sistema *closed-loop* (stabile)

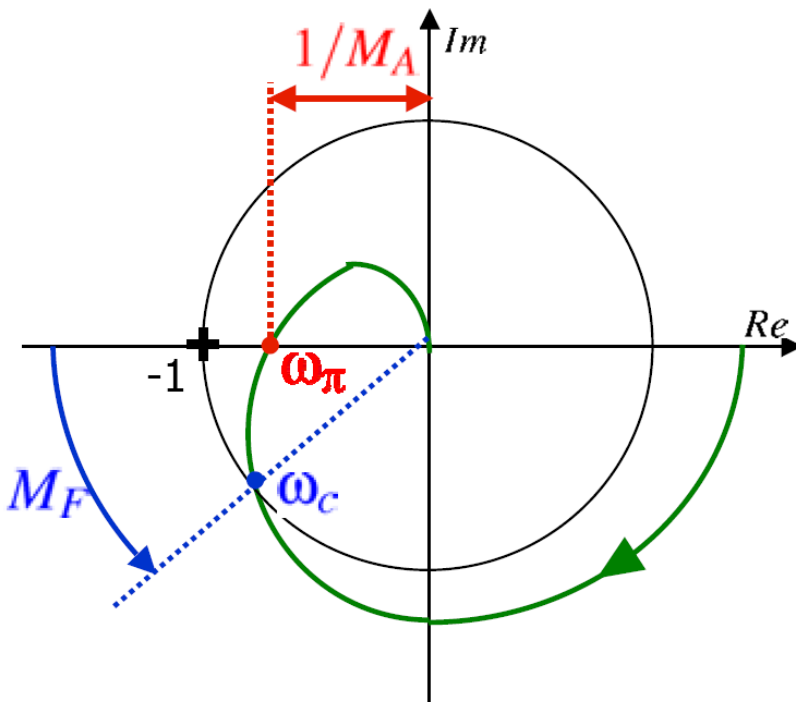


Margini di stabilità

- ➔ Il criterio di Nyquist è utile soprattutto come giustificazione teorica al seguente metodo per quantificare la robustezza della stabilità in un sistema ad anello chiuso
- ➔ Infatti, un sistema closed-loop è tanto più lontano dall'instabilità quanto più il diagramma di Nyquist della sua FdT di anello $L(s)$ è lontano dal punto critico, se $L(s)$ NON ha poli a parte reale > 0
- ➔ In tal caso, la distanza del diagramma di Nyquist dal punto critico si può valutare con i **margini di stabilità** (**margini di ampiezza** e **margini di fase**)



Margini di stabilità - 1



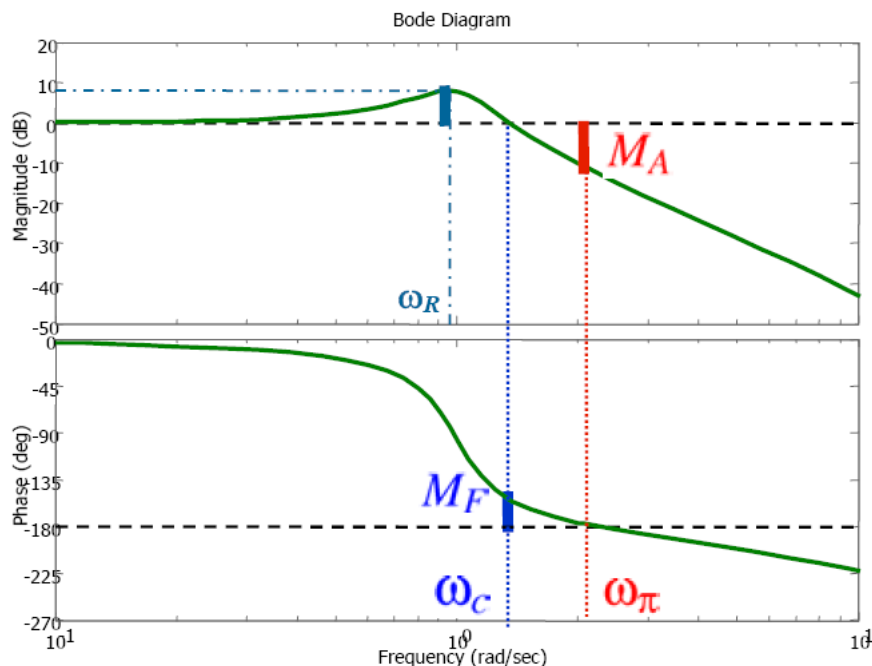
- **Margine di ampiezza:** inverso del guadagno di anello a ω_π (pulsazione di intersezione con l'asse reale negativo)
- **Margine di fase:** angolo che occorre sottrarre alla fase della FdT di anello a ω_c (pulsazione di incrocio con la circonferenza di raggio unitario) per ottenere $-\pi$



Margini di stabilità - 2



- I margini di ampiezza e fase si possono determinare anche sul diagramma di Bode, sempre considerando L(s):



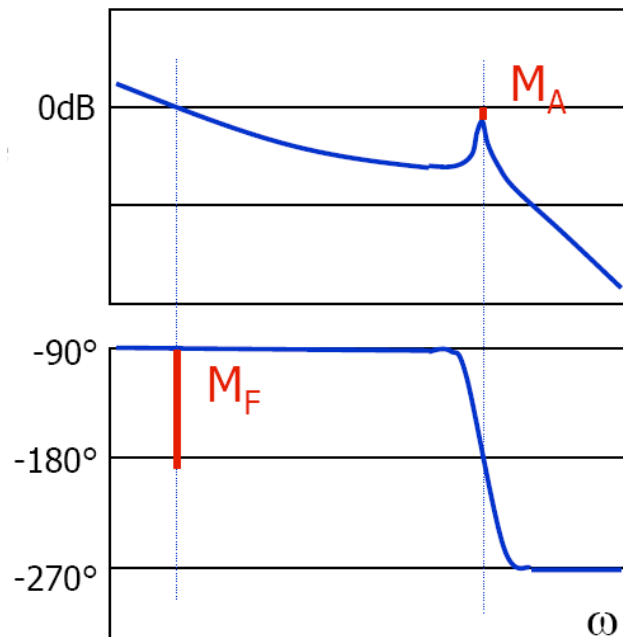
Margini di stabilità - 3

N.B.: i margini di ampiezza e fase vanno considerati insieme per valutare la robustezza della stabilità

Esempio con margine di fase molto elevato (90°)

MA margine di ampiezza molto piccolo

→ attenzione ai sistemi con coppie di poli poco smorzati
O zeri alternati a poli

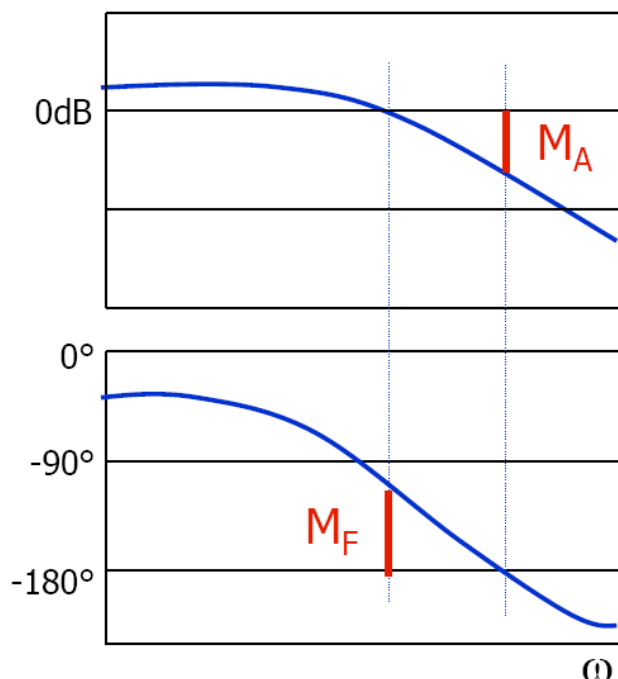


Margini di stabilità - 4

RUOLO dei margini di ampiezza e fase nel progetto robusto:

Margine di ampiezza: MAX variazione del guadagno di anello che NON pregiudica la stabilità

Margine di fase: MAX variazione dello sfasamento della FdT di anello che NON pregiudica la stabilità



Margini di stabilità - 4



VALORI TIPICI dei margini di ampiezza e fase che si desidera ottenere dal progetto di controllo:

Margine di ampiezza: 4 - 6 (12 - 16 dB)

Margine di fase: 45 - 60°



FUNZIONI DI TRASFERIMENTO

- Sensibilità
- Banda passante
- Criterio di Nyquist / Margini di stabilità

FINE

